

# РАСПРОСТРАНЕНИЕ ПАССИВНОЙ ПРИМЕСИ ОТ МГНОВЕННОГО ЛОКАЛИЗОВАННОГО ИСТОЧНИКА В ЗОНЕ ТУРБУЛЕНТНОГО СМЕШЕНИЯ В ПИКНОКЛИНЕ

О. Ф. Воропаева, Г. Г. Черных

Институт вычислительных технологий СО РАН, 630090 Новосибирск

Выполнено численное моделирование динамики пассивной примеси от мгновенного локализованного источника в зоне турбулентного смешения в пикноклине. Источник имитируется заданием начального распределения осредненной концентрации примеси в виде финитной функции, принимающей постоянное значение в круге малого радиуса. Результаты расчетов показывают возможность ситуаций, когда распространение пассивной примеси в значительной мере определяется конвективным течением, генерируемым зоной турбулентного смешения.

**Введение.** Изучение эволюции областей турбулизированной жидкости — зон турбулентного смешения — в однородной и стратифицированной средах представляет интерес в связи с решением ряда задач геофизической гидродинамики [1, 2]. Развитие области турбулизированной жидкости в стратифицированной среде характеризуется первоначальным расширением зоны смешения вследствие турбулентной диффузии, последующим прекращением ее роста в вертикальном направлении под влиянием силы тяжести и активной генерацией внутренних волн. Гидродинамические аспекты этого процесса достаточно подробно рассмотрены в [3–6]. В [7] представлены результаты численного моделирования динамики пассивной примеси от произвольно расположенного мгновенного локализованного источника в зоне турбулентного смешения в однородной и линейно стратифицированной средах. Источник имитировался заданием начального распределения осредненной концентрации примеси в виде финитной функции, принимающей постоянное значение в круге малого радиуса. Продемонстрирована существенная зависимость концентрации примеси от начальных данных для этой величины. При несовпадении центров турбулизированной области и локализованного источника процесс распространения примеси характеризуется смещением положения максимума осредненной концентрации к центру турбулизированной области, однако это смещение происходит чрезвычайно медленно в сравнении с вырождением турбулентности.

В настоящей работе рассмотрена задача о динамике пассивной примеси от мгновенного локализованного источника в зоне турбулентного смешения в пикноклине. Показана возможность ситуаций, когда распространение пассивной примеси в значительной мере определяется конвективным течением, генерируемым зоной турбулентного смешения.

**1. Постановка задачи. Основные уравнения.** Для описания процесса распространения пассивной примеси в зоне турбулентного смешения в стратифицированной среде привлекается следующая система осредненных уравнений движения, неразрывности, несжимаемости, переноса концентрации пассивной примеси  $\Theta$ , баланса энергии турбулентности  $e$ , переноса скорости диссипации  $\varepsilon$  и касательного рейнольдсова напряжения  $\langle u'v' \rangle$ :

$$\frac{\partial U}{\partial t} + U \frac{\partial U}{\partial x} + V \frac{\partial U}{\partial y} = - \frac{1}{\rho_0} \frac{\partial \langle p_1 \rangle}{\partial x} - \frac{\partial}{\partial x} \langle u'^2 \rangle - \frac{\partial}{\partial y} \langle u'v' \rangle,$$

$$\begin{aligned}
\frac{\partial V}{\partial t} + U \frac{\partial V}{\partial x} + V \frac{\partial V}{\partial y} &= -\frac{1}{\rho_0} \frac{\partial \langle p_1 \rangle}{\partial y} - \frac{\partial}{\partial x} \langle u' v' \rangle - \frac{\partial}{\partial y} \langle v'^2 \rangle - \frac{g \langle \rho_1 \rangle}{\rho_0}, \\
\frac{\partial \langle \rho_1 \rangle}{\partial t} + U \frac{\partial \langle \rho_1 \rangle}{\partial x} + V \frac{\partial \langle \rho_1 \rangle}{\partial y} + V \frac{d \rho_s}{dy} &= -\frac{\partial}{\partial x} \langle u' \rho' \rangle - \frac{\partial}{\partial y} \langle v' \rho' \rangle, \\
\frac{\partial U}{\partial x} + \frac{\partial V}{\partial y} &= 0, \quad \frac{\partial \Theta}{\partial t} + U \frac{\partial \Theta}{\partial x} + V \frac{\partial \Theta}{\partial y} = \frac{\partial}{\partial x} K_{\theta x} \frac{\partial \Theta}{\partial x} + \frac{\partial}{\partial y} K_{\theta y} \frac{\partial \Theta}{\partial y}, \\
\frac{\partial e}{\partial t} + U \frac{\partial e}{\partial x} + V \frac{\partial e}{\partial y} &- \frac{\partial}{\partial x} K_{ex} \frac{\partial e}{\partial x} + \frac{\partial}{\partial y} K_{ey} \frac{\partial e}{\partial y} + P + G - \varepsilon, \\
\frac{\partial \varepsilon}{\partial t} + U \frac{\partial \varepsilon}{\partial x} + V \frac{\partial \varepsilon}{\partial y} &= \frac{\partial}{\partial x} K_{ez} \frac{\partial \varepsilon}{\partial x} + \frac{\partial}{\partial y} K_{ey} \frac{\partial \varepsilon}{\partial y} + C_{e1} \frac{\varepsilon}{e} (P + G) - C_{e2} \frac{\varepsilon^2}{e}, \\
\frac{\partial \langle u' v' \rangle}{\partial t} + U \frac{\partial \langle u' v' \rangle}{\partial x} + V \frac{\partial \langle u' v' \rangle}{\partial y} &= \\
&= \frac{\partial}{\partial x} K_{ex} \frac{\partial \langle u' v' \rangle}{\partial x} + \frac{\partial}{\partial y} K_{ey} \frac{\partial \langle u' v' \rangle}{\partial y} + (1 - C_2) P_{12} + (1 - C_3) G_{12} - C_1 \frac{\varepsilon}{e} \langle u' v' \rangle.
\end{aligned} \tag{1.1}$$

В уравнениях (1.1)  $U, V$  — компоненты скорости осредненного движения в направлении осей  $x, y$  соответственно (ось  $x$  направлена горизонтально, ось  $y$  — вертикально вверх, против силы тяжести);  $p_1$  — отклонение давления от гидростатического, обусловленного стратификацией  $\rho_s(y)$ ;  $g$  — ускорение силы тяжести;  $\langle \cdot \rangle$  — осредненный дефект плотности:  $\rho_1 = \rho - \rho_s$ ;  $\rho_s = \rho_s(y)$  — плотность невозмущенной жидкости:  $d\rho_s/dy \leq 0$  (устойчивая стратификация);  $\rho_0 = \rho_s(Y)$  — характерное значение плотности невозмущенной жидкости, соответствующее  $y = Y$ ; штрихом обозначены пульсационные составляющие; знак  $\langle \cdot \rangle$  — осреднение; плотность жидкости считается линейной функцией температуры; стратификация предполагается слабой, и используется приближение Обербека — Буссинеска; слагаемые сомножителем в виде коэффициента ламинарной вязкости или диффузии опущены в предположении малости.

**Модель турбулентного движения.** Нормальные рейнольдсовы напряжения  $\langle u_i'^2 \rangle$  ( $i = 1, 2$ ) определяются из изотропных аппроксимаций [8]:

$$\begin{aligned}
\frac{\langle u_i' u_j' \rangle}{e} &= \frac{2}{3} \delta_{ij} + \frac{1 - C_2}{C_1} \left( \frac{P_{ij}}{\varepsilon} - \frac{2}{3} \delta_{ij} \frac{P}{\varepsilon} \right) + \frac{1 - C_3}{C_1} \left( \frac{G_{ij}}{\varepsilon} - \frac{2}{3} \delta_{ij} \frac{G}{\varepsilon} \right), \\
P_{ij} &= - \left\{ \langle u_i' u_k' \rangle \frac{\partial U_j}{\partial x_k} + \langle u_j' u_k' \rangle \frac{\partial U_i}{\partial x_k} \right\}, \quad G_{ij} = \frac{1}{\rho_0} (\langle u_i' \rho' \rangle g_j + \langle u_j' \rho' \rangle g_i), \\
g &= (0, -g, 0), \quad U_1 = U, \quad U_2 = V, \quad 2P = P_{ii}, \quad 2G = G_{ii}.
\end{aligned} \tag{1.2}$$

Для нахождения компонент вектора потоков  $\langle u_i' \rho' \rangle$  ( $i = 1, 2$ ), как и в [7], используются следствия локально-равновесного приближения:

$$-\langle u' \rho' \rangle = K_{px} \frac{\partial \langle \rho \rangle}{\partial x}, \quad -\langle v' \rho' \rangle = K_{py} \frac{\partial \langle \rho \rangle}{\partial y}.$$

Коэффициенты турбулентной вязкости  $K_{ex}, K_{ey}, K_{ez}$ ,  $K_{\rho x}, K_{\rho y}, K_{\theta x}, K_{\theta y}$  определяются из соотношений:

$$\begin{aligned}
K_{ex} &= C_s \frac{e \langle u'^2 \rangle}{\varepsilon}, \quad K_{ez} = \frac{K_{ex}}{\sigma}, \quad K_{ey} = C_s \frac{e \langle v'^2 \rangle}{\varepsilon}, \quad K_{\rho x} = \frac{K_{ex}}{\sigma}, \\
K_{\rho x} &= K_{\theta x} = \frac{\langle u'^2 \rangle e}{C_{1t} \varepsilon}, \quad K_{\rho y} = K_{\theta y} = (1/C_{1t} \varepsilon) \left( e \langle v'^2 \rangle / \left( 1 - 2 \frac{g}{\rho_0} \frac{1 - C_{2t}}{C_t C_{1t}} \frac{e^2}{\varepsilon^2} \frac{\partial \langle \rho \rangle}{\partial y} \right) \right).
\end{aligned}$$

Эмпирические постоянные модели полагались равными [9, 10]:  $C_{\epsilon 1} = 1,45$ ,  $C_{\epsilon 2} = 1,90$ ,  $\sigma = 1,3$ ,  $C_1 = 2,2$ ,  $C_2 = C_3 = 0,55$ ,  $C_s = 0,25$ ,  $C_t = 1,25$ ,  $C_{1t} = 3,2$ ,  $C_{2t} = 0,5$ .

**Начальные и граничные условия.** В качестве граничных и начальных условий для системы уравнений (1.1) принимались следующие:

$$\begin{aligned} U = V = \langle \rho_1 \rangle = e = \varepsilon = \Theta = \langle u' v' \rangle = 0, \quad r^2 = x^2 + y^2 \rightarrow \infty, \quad t \geq 0, \\ e(0, x, y) = e_0(r), \quad \varepsilon(0, x, y) = \varepsilon_0(r), \quad \Theta(0, x, y) = \Theta_0(x, y), \quad r^2 \leq R^2, \\ e(0, x, y) = \varepsilon(0, x, y) = \Theta(0, x, y) = 0, \quad r^2 \geq R^2, \\ \langle \rho_1 \rangle = U = V = \langle u' v' \rangle = 0, \quad -\infty < x < \infty, \quad -\infty < y < \infty, \quad t = 0. \end{aligned}$$

Здесь  $e_0(r)$ ,  $\varepsilon_0(r)$  — автомодельные распределения, соответствующие однородной жидкости (финитные колоколообразные функции);  $R$  — радиус области турбулизированной жидкости в начальный момент времени. Функция  $\Theta_0(x, y)$  задавалась равной  $\Theta^0 = \text{const}$  в круге  $\Omega^0$  радиуса  $R_0 < R$  и нулю вне этого круга. Так имитировался мгновенный локализованный источник примеси. При численном решении задавались нулевые краевые условия, отвечающие  $r \rightarrow \infty$ , сносились на границы достаточно большого прямоугольника.

Распределение плотности в пикноклине задавалось формулой

$$\rho_s(y) = \rho_0(1 - a\beta \operatorname{th}((y - Y)/\beta)),$$

где  $a$ ,  $\beta$ ,  $Y$  — положительные параметры.

**Обезразмеривание.** Переменные задачи обезразмериваются с применением масштабов длины  $R$ , скорости  $U_0 = \sqrt{e(0, 0, 0)}$  и осредненной концентрации  $\Theta^0$ . Используется также представление  $\langle \rho_1 \rangle^* = \langle \rho_1 \rangle / aR\rho_0$ ,  $a = -(1/\rho_0)d\rho_s/dy$  при  $y = Y$ . В результате в обезразмеренных уравнениях вместо  $g$  появляется величина  $4\pi^2/\text{Fr}^2$ , где  $\text{Fr} = U_0 T / R$  — плотностное число Фруда;  $T = 2\pi/\sqrt{ag}$  — период Вайсяля — Брента. В дальнейшем обезразмеренные переменные помечены звездочкой \*.

**Алгоритм решения задачи и его тестирование.** Конечно-разностный алгоритм основан на применении методов расщепления по пространственным переменным, имеет первый порядок аппроксимации по времени, второй — по пространственным переменным и изложен в [6].

Математическая модель данной работы отличается от модели, использованной в [7] для описания течения в случае линейно стратифицированной среды, представлениями коэффициентов турбулентной вязкости (в работе [7] они получены как следствие изотропных аппроксимаций (1.2)). Это связано с тем, что модель работы [7] дает неудовлетворительные результаты при описании волновой картины течения в пикноклине. Разработанная численная модель тестировалась на задаче об эволюции безыmpульсного следа в линейно стратифицированной среде. Результаты сопоставления расчетных данных о поведении характеристик турбулентности в следе с экспериментальными данными Линя и Пао приведены в [11]. Там же показано, что рассчитанные картины внутренних волн, генерируемых следом в пикноклине, согласуются с известными экспериментальными данными [12].

**2. Результаты расчетов.** С целью анализа процесса турбулентной диффузии пассивной примеси от локализованного источника в зоне турбулентного смешения в пикноклине выполнена серия численных экспериментов, в которых варьировались положение источника примеси внутри турбулизированной области (параметры  $x_0, y_0$ ), ширина переходного слоя пикноклина (параметр  $\beta$ ), а также взаимное расположение турбулизированной области и слоя жидкости с максимальными вертикальными градиентами плотности (параметр  $Y$ ).

Начало координат совпадает с центром турбулизированной области. По аналогии с линейной стратификацией [7] рассмотрены следующие варианты значений координат центра

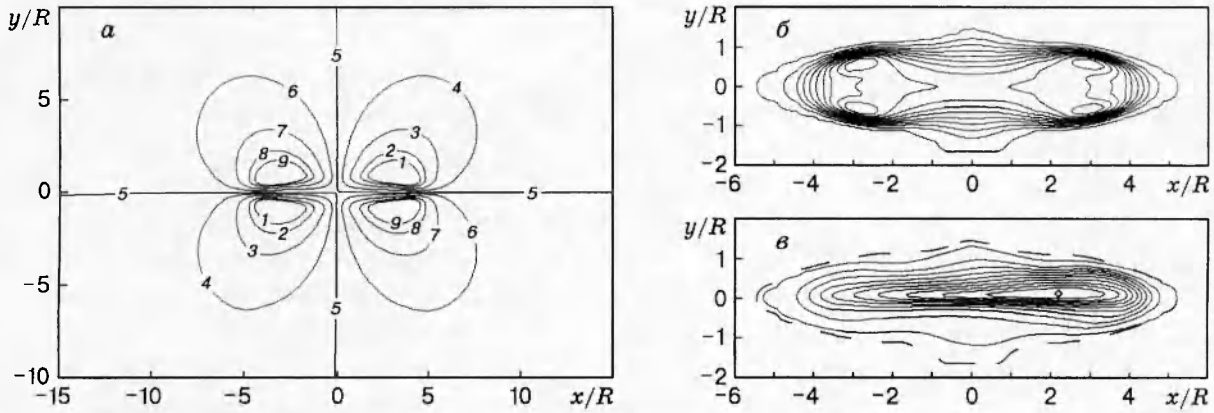


Рис. 1

круга  $\Omega^{\bar{\psi}}$ : 1)  $x_0 = y_0 = 0$ , 2)  $x_0 = 0, y_0 = 0,57R$ , 3)  $x_0 = y_0 = 0,57R$ , 4)  $x_0 = y_0 = 0,28R$ . Основные результаты представлены для  $Fr = 4,7$ .

Расчеты проводились на неравномерных ортогональных сетках, сгущающихся в окрестности зоны турбулентного смешения и  $\bar{\Omega}^{\bar{\psi}}$ , с числом узлов  $120 \times 100$ . Сеточный аналог  $\Omega^0$  при этом представлял приближенную имитацию круга диаметром шесть ячеек,  $R_0 = 0,17R$ . Для оценки точности выполнялись расчеты на сетке с количеством узлов  $240 \times 200$  и вдвое меньшими горизонтальными и вертикальными размерами ячеек в окрестности зоны турбулентного смешения. Полученные отклонения не превышали 5 % в равномерной сеточной норме.

Результаты расчетов в пикноклине с  $Y = 0, \beta = 0,19R$  показаны на рис. 1 ( $t/T = 3$ ). На рис. 1, *a* изображены линии тока  $\psi/(U_0 R) = \text{const}$ ; кривые 1–9 отвечают уровням  $1,9 \cdot 10^{-3}$ ;  $1,5 \cdot 10^{-3}$ ;  $9,4 \cdot 10^{-4}$ ;  $3,8 \cdot 10^{-4}$ ;  $0$ ;  $-3,8 \cdot 10^{-4}$ ;  $-9,4 \cdot 10^{-4}$ ;  $-1,5 \cdot 10^{-3}$ ;  $-1,9 \cdot 10^{-3}$ . Изолинии энергии турбулентности  $e/e_m(t) = \text{const}$ ,  $e_m(t) = \max_{x,y} e(t, x, y)$  (рис. 1, *б*) представлены значениями уровней 0,01; 0,1 и далее до 0,9 с интервалом 0,1. Изолинии осредненной концентрации пассивной примеси  $\Theta/\Theta_m(t) = \text{const}$ ,  $\Theta_m(t) = \max_{x,y} \Theta(t, x, y)$  (рис. 1, *в*; 2) приведены для варианта 3 ( $x_0 = y_0 = 0,57R$ ) начального расположения источника; при этом рис. 2, в отличие от рис. 1, *в*, соответствует пикноклину с  $Y = 0,57R$  и  $\beta = 0,19R$ . На рис. 1, *в* и 2 знаком  $\diamond$  помечен узел сеточной области, в котором осредненная концентрация достигает максимума; штриховая линия — граница турбулизированной области, определяемая соотношением  $e(t, x, y) = 0,01e_m(t)$ ; значения уровней те же, что и на рис. 1, *б*. Видно, что пятно пассивной примеси, первоначально сосредоточенное в малой круговой области внутри турбулизированной зоны, со временем растекается в виде языков вдоль горизонталь-

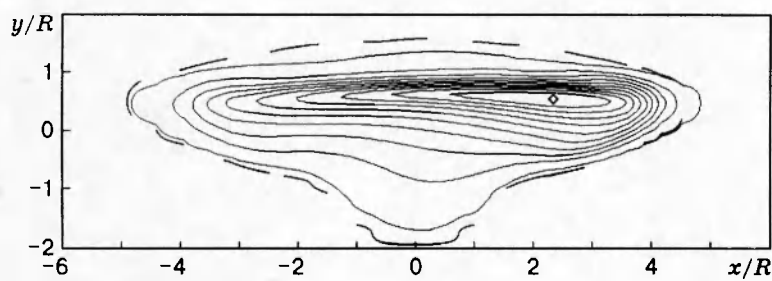


Рис. 2

ной прослойки жидкости с максимальным вертикальным градиентом плотности, повторяя форму турбулизованной области. Полученные в этих расчетах картины растекания турбулизованной области аналогичны наблюдавшимся в лабораторных экспериментах [13], в которых исследовалась динамика пятен частично перемешанной жидкости в тонкослоистой стратифицированной среде.

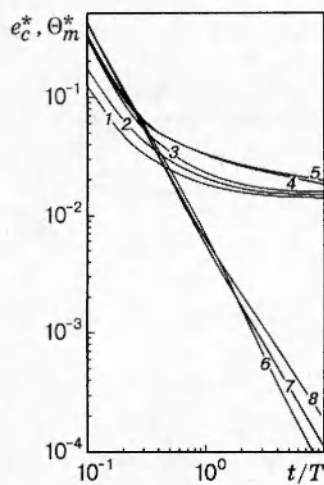


Рис. 3

На рис. 3 кривые 1–5 иллюстрируют изменение величины максимальной осредненной концентрации  $\Theta_m^*(t)$  в зависимости от времени. Кривые 1–3 соответствуют расчетам в пикноклине при  $Y = 0$ ,  $\beta = 0,19R$  (варианты 1–3 расположения  $\Omega^0$ ); кривые 4, 5 — линейной стратификации (вариант 3:  $x_0 = y_0 = 0,57R$ ). Различие в поведении кривых 1–3 можно объяснить неоднородностью распределения коэффициентов турбулентной диффузии  $K_{\theta x}$ ,  $K_{\theta y}$ . Кривые 6–8 описывают поведение характерной величины энергии турбулентности  $e_c(t)/U_0^2 = e(t, 0, 0)/U_0^2 = e_c^*(t)$  в центре области турбулентного смешения для нелинейного (кривая 6) и линейного (кривые 7, 8) распределений плотности невозмущенной жидкости по глубине. Здесь линии 5, 8 получены в расчетах по модели [7]. Видно, что в случае линейной стратификации обе модели дают близкие результаты. На интервале значений времени  $t/T \in [0, 10]$  энергия турбулентности уменьшается на четыре порядка.

На рис. 4 показано изменение во времени абсциссы  $x_m(t)$  и ординаты  $y_m(t)$  сечечного узла, в котором достигается максимум концентрации  $\Theta_m^*(t) = \Theta^*(t, x_m, y_m)$ . Здесь линии 1–3 получены для варианта 3 начального расположения источника примеси ( $x_0 = y_0 = 0,57R$ ): 1 — линейная стратификация, 2 — пикноклин с  $Y = 0$ ,  $\beta = 0,57R$ , 3 — «узкий» пикноклин ( $Y = 0$ ,  $\beta = 0,19R$ ). В отличие от линии 3, линии 4, 5 соответствуют вариантам 2, 4 координат центра  $\Omega^0$  (4 —  $x_0 = 0$ ,  $y_0 = 0,57R$ , 5 —  $x_0 = y_0 = 0,28R$ ;  $Y = 0$ ,  $\beta = 0,19R$ ), линии 6, 7 — новым вариантам расположения слоя жидкости с наибольшими вертикальными градиентами плотности  $\rho_s(y)$  относительно центра турбулизованной области (6 —  $Y = 0,19R$ , 7 —  $Y = 0,57R$ ;  $\beta = 0,19R$ ,  $x_0 = y_0 = 0,57R$ ).

Значение  $x_m(t)$  в случае линейной стратификации близко к постоянной на всем рассмотренном временном интервале (рис. 4, а, линия 1). В случае пикноклина эта величина

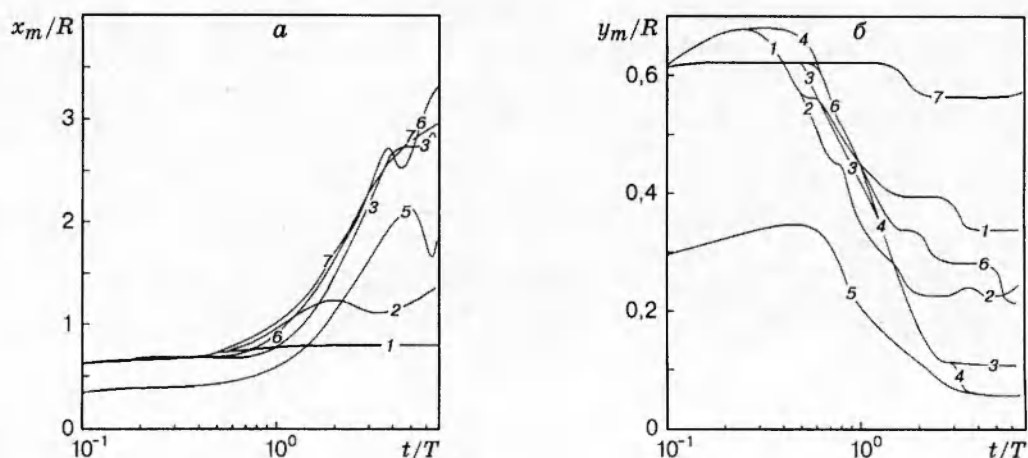


Рис. 4

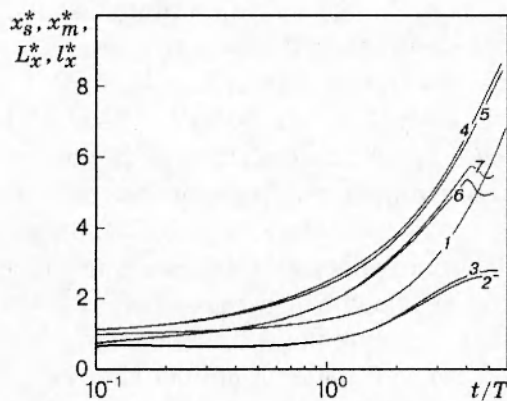


Рис. 5

интенсивно растет при всех  $t/T$ , за исключением короткой начальной стадии развития турбулизованной области, когда, как и в однородной жидкости, доминирующим является процесс турбулентной диффузии. Возрастание  $x_m(t)$  связано с особенностью волновой картины течения в пикноклине [6, 12] — образованием в каждом квадранте плоскости  $(x, y)$  конвективного вихря большой интенсивности, который перемещается со временем вдоль горизонтальной оси в сторону роста  $|x|$  (рис. 1, а). Такое поведение  $x_m(t)$  характерно для всех рассмотренных вариантов расположения источника примеси (линии 3, 5) и значений параметра  $Y$  (линии 3, 6, 7). Вместе с тем линия 2, соответствующая пикноклину с более широким переходным слоем, близка к 1, относящейся к линейной стратификации.

На рис. 5 в дополнение к рис. 4, а на примере расчета с параметрами  $x_0 = y_0 = 0,57R$ ,  $Y = 0$ ,  $\beta = 0,19R$  сопоставляются зависимости от времени сеточных аналогов абсциссы точки максимума функции тока  $x_s$  (кривая 1), абсциссы максимума концентрации  $x_m$  (кривые 2, 3) и горизонтальных размеров  $L_x$ ,  $l_x$  турбулизированной области (кривые 4–7). Здесь линии 4, 5 иллюстрируют поведение горизонтального размера турбулизированной зоны, вычисляемого из соотношения  $e(t, L_x, 0) = 0,01e(t, 0, 0)$ , линии 6, 7 получены из соотношения  $e(t, l_x, 0) = 0,5e(t, 0, 0)$ . При этом кривые 3, 5, 7 соответствуют расчетам на сетке  $240 \times 200$ . Представленные данные показывают, что турбулентная диффузия, как и в случае однородной жидкости [7], приводит к смещению положения максимума концентрации в начале координат. Конвективное течение, индуцируемое коллапсом зоны турбулентного смешения, вызывает интенсивный перенос примеси в горизонтальном направлении. Рис. 4, а и 5 отражают взаимодействие турбулентной диффузии и конвективного переноса. Поведение кривых 6, 7 на рис. 5 — результат порождения энергии турбулентности конвективным течением.

Расчеты показывают, что в случае линейной стратификации координата  $y_m(t)$  незначительно возрастает на начальной стадии развития турбулизированной зоны, а затем наблюдается ее убывание (рис. 4, б, линия 1). Однако эта величина даже при  $t/T \geq 4$  отлична от нуля (как и  $x_m$  при несимметричном расположении источника), что свидетельствует о «памяти» осредненной концентрации пассивной примеси особенностей своего начального распределения. Близкое к описанному поведение  $y_m$  имеет место и в пикноклине с широким переходным слоем (кривая 2). Вместе с тем данные численных экспериментов показывают, что при эволюции турбулизированной области в пикноклине осредненная концентрация пассивной примеси при больших значениях времени достигает своего максимума в про слойках жидкости с наибольшими вертикальными градиентами плотности. В частности, в случае пикноклина с узким переходным слоем величина  $y_m(t)$  при  $t/T \geq 1$  существенно зависит от значения  $Y$  (линии 3, 6, 7 на рис. 4, б).

Таким образом, в тех случаях, когда  $x_0, y_0$  отличны от нуля, концентрация пассивной примеси достигает максимума на значительном расстоянии от начала координат не только при небольших значениях времени, но и при  $t/T \geq 4$ .

Расчеты выполнялись также для большего числа Фруда ( $Fr = 22,1$ ). Полученные данные качественно согласуются с представленными здесь для  $Fr = 4,7$ , но, как и при эволюции турбулизованной области в линейно стратифицированной жидкости [7], воздействие стратификации проявляется позже, т. е. при больших значениях  $i_* = (t/T)Fr = tU_0/R$ .

Эффекты памяти при распространении примеси в неизотермических свободных турбулентных течениях достаточно хорошо известны [14, 15]. Они наблюдаются и в задаче о динамике зоны турбулентного смешения в однородной и линейно стратифицированной жидкости [7]. Результаты настоящей работы демонстрируют существенную роль конвективного течения в процессе распространения пассивной примеси от локализованного источника в зоне турбулентного смешения в пикноклине.

Авторы благодарят Ю. Д. Чашечкина, совместная работа с которым привела к постановке рассмотренной задачи.

Основные результаты работы доложены на Международной конференции «Математические модели и численные методы механики сплошных сред» (Новосибирск, 1996) и Втором сибирском конгрессе по прикладной и индустриальной математике (Новосибирск, 1996).

Работа выполнена при финансовой поддержке Российского фонда фундаментальных исследований (коды проектов 95-01-00910, 98-01-00736).

## ЛИТЕРАТУРА

1. Тернер Дж. Эффекты плавучести в жидкостях. М.: Мир, 1977.
2. Монин А. С., Озмидов Р. В. Океанская турбулентность. Л.: Гидрометеоиздат, 1981.
3. Васильев О. Ф., Кузнецов Б. Г., Лыткин Ю. М., Черных Г. Г. Развитие области турбулизованной жидкости в стратифицированной среде // Изв. АН СССР. Механика жидкости и газа. 1974. № 3. С. 45–52.
4. Трохан А. М., Чашечкин Ю. Д. Генерация внутренних волн в стратифицированной жидкости гидродинамически линейным источником (двумерная задача) // Теория дифракции и распространения волн: Тез. докл. VII Всесоюз. симпоз. по дифракции и распространению волн, Ростов-на-Дону, 1977. М.: Изд-во АН СССР, 1977. Т. 3. С. 186–189.
5. Лыткин Ю. М., Черных Г. Г. Подобие течения по плотностному числу Фруда и баланс энергии при эволюции зоны турбулентного смешения в стратифицированной среде // Динамика сплошной среды: Сб. науч. тр. / АН СССР. Сиб. отд-ние. Ин-т гидродинамики. 1980. Вып. 47. С. 70–89.
6. Воропаева О. Ф., Черных Г. Г. Эволюция зоны турбулентного смешения в жидкости с нелинейной стратификацией // Моделирование в механике: Сб. науч. тр. / АН СССР. Сиб. отд-ние. ВЦ; ИТПМ. 1989. Т. 3(20), № 5. С. 3–29.
7. Воропаева О. Ф., Чашечкин Ю. Д., Черных Г. Г. Диффузия пассивной примеси от мгновенного локализованного источника в зоне турбулентного смешения // Докл. РАН. 1997. Т. 356, № 6. С. 759–762.
8. Rodi W. Examples of calculation methods for flow and mixing in stratified fluids // J. Geoph. Res. 1987. V. 92, N C5. P. 5305–5328.
9. Gibson M. M., Launder B. E. On the calculation of horizontal, turbulent, free shear flows under gravitational influence // Trans. ASME. 1976. V. C 98, N 1. P. 81–87.

10. Rodi W. Turbulence Models and their Application in Hydraulics. Karlsruhe: Univ. of Karlsruhe, 1981.
11. Воропаева О. Ф., Черных Г. Г. Численная модель динамики безымпульсного турбулентного следа в пикноклине // ПМТФ. 1997. Т. 38, № 3. С. 69–86.
12. Gilreath H. E., Brandt A. Experiments on the generation of internal waves in a stratified fluid // AIAA J. 1985. V. 23. P. 693–700.
13. Попов В. А. Развитие области частично перемешанной жидкости в тонкослоистой стратифицированной среде // Изв. АН СССР. Физика атмосферы и океана. 1986. Т. 22, № 4. С. 389–394.
14. Дмитренко Ю. М., Жданов В. Л., Коловандин Б. А. Влияние начальных условий на структуру неизотермического осесимметричного турбулентного следа. Минск, 1985 (Препр. / ИТМО АН БССР).
15. Букреев В. И., Деменков А. Г., Костомаха В. А., Черных Г. Г. Распространение тепла от линейного источника в плоском турбулентном следе // ПМТФ. 1996. Т. 37, № 5. С. 115–126.

*Поступила в редакцию 16/X 1996 г.*

---